

(1)

1. DINAMICA dell' INFLAZIONE -

2. PERTURBAZIONI COSMOLOGICHE dall' INFLAZIONE -

Inflazione: un periodo durante il quale

$$\ddot{a} > 0$$

per un tempo sufficiente da poter risolvere i problemi dell'orizzonte e della piattaforma

$$\ddot{a} > 0 \Leftrightarrow p < -\frac{1}{3} \rho$$

N.B.: no RADIATION o MATTER-DOMINATED PHASE \Rightarrow di nuovo inflazione avviene prima delle nucleosintesi primordiale ($t_{NUC} \sim t_{REC}$; $T_{NUC} \sim 1 \text{ MeV}$)
 Ricordiamo che una fase di de-Sitter è un periodo durante il quale $p = -\rho - \frac{1}{3}H^2$

$$\begin{cases} H^2 = \frac{8\pi G}{3}\rho \\ \dot{\rho} = -3H(\rho + p) \end{cases} \rightarrow \rho = \text{const} \Rightarrow H = \text{const} \Rightarrow a = a_i e^{H(t-t_i)}$$

(curvatura K si è solo redshifted away)

X Ricorda definizione n°. e-foldings $N_{TOT} = \int_{t_i}^{t_f} H dt$ che deve essere almeno compreso fra 50 e 70 -

Chi è un possibile candidato con $\dot{\rho} < -\frac{1}{3}\rho$?

(2)

Un campo scalare.

Di seguito consideriamo:

1. Perché un campo scalare? Come si descrive? Quali sono le sue ^{in un universo in espansione} caratteristiche?
2. Come si studia la dinamica di un campo scalare in un universo in espansione?
3. Correlazione di vari modelli.
4. Da fluttuazioni quantistiche dell'inflazione alle prime perturbazioni di densità (che danno poi origine alle fluttuazioni in temperatura del CMB e a tutte le strutture che osserviamo nell'universo).

Un tipico esempio di una fase di de-Sitter si ha se la densità di energia è dominata da una costante cosmologica:

$$p_A = -\rho_A = -\frac{\Lambda}{8\pi G}$$

$$H^2 = \frac{8\pi G}{3} \rho_A = \frac{\Lambda}{3} \rightarrow a \propto \exp\left(\frac{\sqrt{\Lambda}}{3} t\right)$$

La tensione cosmologica Λ fu introdotto da Einstein in quanto preservava la covarianza generale delle eq. di Einstein;

$$R_{\mu\nu} - \frac{1}{2} R g_{\mu\nu} = 8\pi G T_{\mu\nu} - \Lambda g_{\mu\nu} \quad (1) \quad \text{N.B. (1) vale con signature } (-, +, +, +)$$

(in questo senso Λ ha un significato geometrico).

L'altra parte fa attuale interpretazione è quella che ρ_A , e p_A riassumono la pressione e la densità di energia del vuoto quantistico, inteso come lo stato di base di un sistema quantistico (qualcuno contributo particolare alla densità di energia del vuoto).

Questo lo si vede considerando che il tensore energia-momento sullo stato di vuoto deve essere lorentz invarianta i primi;

$$\langle T_{\mu\nu} \rangle = -\langle \rho \rangle g_{\mu\nu}$$

Quindi $\langle T_{\mu\nu} \rangle$ si confronta come Λ (sarebbe una $\Lambda = 8\pi G \langle \rho \rangle$).

Viceversa si può dire che la costante cosmologica contribuisce alla energia totale del vuoto con una $\rho_{vuoto} = \frac{\Lambda}{8\pi G}$.

Quello fa vedere che in presenza di gravità $\frac{8\pi G}{c^4}$ do conto anche l'energia del vuoto, e che questa non può più essere nulla a zero come si fa in un cubo di lattice.

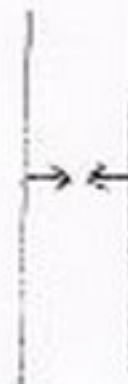
di Minkowski.

A cosa ci riferiamo quando parliamo delle energie del vuoto?

All'energie relative alle fluctuazioni quantistiche sullo stato di vuoto (in Minkowski è infinita, la posso form=0, ri definendo il punto zero; in presenza di gravità resto tutto fai al principio di equivalenza). Non è vero che nel vuoto quantistico non ci sono particelle: queste sono continuamente create e distrutte.

A parte l'auspicio della costante cosmologica, un altro è relativo all'effetto Casimir:

* si prendono due piastrine metalliche natre molto vicine, pure in assenza di cariche si misura una forza (attrattiva)



Quello che accade è che il vuoto "si accorge" che ci sono le piastre (è una condizione al contorno che si imposta al campo e.m.) E' l'auspicio di una forza con la dovuta al vuoto quantistico.

N.B.: è un esempio in cui si capisce che x definire uno stato di vuoto è importantissima considerare le condizioni al contorno: lo stato di vuoto è lo stato con il massimo numero di simmetrie consentite nell'ambiente in cui "vive" (per uno spazio di Minkowski il vuoto è invariante fu il gruppo di Poincaré).

Che tipo di campo può dare le fluctuazioni quantistiche tali che
 $\beta < -\frac{1}{3}\rho$?

Come anticipazione di quello che verrà spiegato meglio in seguito
il tensori energia momento di un campo scalare è:

$$T_{\mu\nu} = \partial_\mu \phi \partial_\nu \phi + \frac{1}{2} g^{\mu\nu} \partial_\lambda \phi \partial^\lambda \phi - V(\phi)$$

$$\text{con } \partial_\lambda \phi = -\frac{1}{2} g^{\alpha\beta} \partial_\alpha \phi \partial_\beta \phi - V'(\phi)$$

Ora supponete che $\phi = \langle \phi \rangle = \text{cost.}$ corrispondente al minimo del
valore medio di ϕ sullo stato di vuoto

potenziale (classico) (lo stato di base del sistema) \Rightarrow

$$T_{\mu\nu} = -V(\langle \phi \rangle) g_{\mu\nu} : \text{energia del vuoto associata al campo scalare}$$

Quindi prendiamo un campo scalare sullo stato di vuoto:

$$\langle 0 | \phi | 0 \rangle \equiv \langle \phi \rangle \neq 0$$

Essendo un campo scalare, in un universo di Robertson-Walker
non può che avere $\langle \phi \rangle = f(t)$

N.B.: non posso avere $\langle A_\mu \rangle \neq 0$: con un quadriettore avrei
una direzione privilegiata, non ammesso in R.W.

non posso avere $\langle \dot{\phi} \rangle \neq 0$ (fumosità): avrebbe indicato
una direzione privilegiata

Potrei avere $\langle \phi \dot{\phi} \rangle \neq 0$ (condensato particolare) se c'è una

scolare - Proposti in finice delle particelle nel caso che non ^⑥
scalonii fondamentali (bosone di Higgs)

introdotto nella finice delle particelle per dare massa
ai bosoni intermedi e fermioni; e nei primi
modelli inflazionari si è tentato di
identificarlo col campo scalare responsabile dell'in-
flazione -

Quindi la cosa più naturale è considerare un campo scalare
reale $\varphi(\vec{r}, t)$ tale che

$\langle 0 | \varphi(\vec{r}, t) | 0 \rangle = f(t)$, cioè il valore di aspettazione sullo stato di
vuoto è al più una funzione del tempo (in R.W). Esso rappresenta
il valore di background clonico del campo -

- Dinamica di un campo scalare n. l'universo si espanda) (7)

Il sistema si descrive con una azione (o densità di Lagrangiana)
In relatività generale:

$$S_{\bar{\Phi}} [\bar{\Phi}, g_{\mu\nu}] = \int d^4x \sqrt{-g} \mathcal{L}_{\bar{\Phi}} [\bar{\Phi}, g_{\mu\nu}]$$

notare la dipendenza della metrica

quindi uno deve considerare:
- campo scalare $\bar{\Phi}$
- campo gravitazionale (cioè metrica)
- resto del mondo

(fotoni, bosoni di gauge, altri compi scalari). In genere lo si descrive come un fluido-

Pur un campo scalare reale:

$$\mathcal{L}_{\bar{\Phi}} = -\frac{1}{2} g^{\mu\nu} \bar{\Phi}_{;\mu} \bar{\Phi}_{;\nu} - V(\bar{\Phi})$$

↑ potenziale
termine cinetico canonico

Quindi come in uno spazio piatto di Minkowski ma con $\eta_{\mu\nu} \rightarrow g_{\mu\nu}$
tessere metrico dello spazio curvo, e con derivate covarianti

$V(\bar{\Phi})$: contiene le self-interactions del campo scalare.

$$\text{ex: } V(\bar{\Phi}) = m_{\bar{\Phi}}^2 \frac{\bar{\Phi}^2}{2}$$

$V(\bar{\Phi})$ massa delle particelle (che cosa sono le particelle?)
contiene anche in generale le interazioni del campo scalare con il resto del mondo (in genere trascurabili nello scenario inflazionario)

Dall'azione S_ϕ del campo scalare uno ottiene la equazione del moto:

$$\frac{\delta S_\phi}{\delta \phi} = 0 \rightarrow \square \phi = \frac{\partial V}{\partial \phi} \quad \begin{matrix} \text{N.B.:} \\ \text{se segnatura metrifica } (-, +, +, +) \\ \text{altrimenti con segno -} \end{matrix}$$

dove nello spazio curvo il D'Alambertiano è definito come:

$$\square \phi = \phi_{;a}^{\;\;;a} = \frac{1}{\sqrt{-g}} \left(g^{\mu\nu} \sqrt{-g} \phi_{,\mu} \right)_{,\nu} \quad \mu = 0, 1, 2, 3$$

Conosciamo la metrifica di R.W. (con $k=0$): (qui uso $(-, +, +, +)$)

$$\sqrt{-g} = a^3(t) e$$

$$\square \phi = \frac{1}{a^3(t)} \left[\left(g^{00} a^3 \phi_{,0} \right)_{,0} + \left(g^{ii} a^3 \phi_{,i} \right)_{,i} \right]$$

$$\square \phi = \frac{1}{a^3(t)} \left[(-a^3 \phi_{,0})_{,0} + (a \phi_{,i})_{,i} \right]$$

$$\square \phi = -\ddot{\phi} - 3 \frac{a^2}{a^3} \dot{a} \dot{\phi} + \frac{\nabla^2 \phi}{a^2} \Rightarrow$$

$$\ddot{\phi} + 3 \frac{1}{a^2} \dot{\phi} - \frac{\nabla^2 \phi}{a^2} = -\frac{\partial V}{\partial \phi} \quad : \text{equazione di un campo scalare (quantistico) nella metrifica di R.W.}$$

N.B.: i) non abbiamo considerato perturbazioni nella metrifica per il momento

$$\text{ii) se } \phi(\vec{x}, t) \equiv \phi_0(t) \text{ allora: } \nabla^2 \phi_0 = 0 \text{ e}$$

$$\ddot{\phi}_0(t) + 3 \frac{1}{a^2} \dot{\phi}_0(t) = -\frac{\partial V}{\partial \phi} (\phi_0)$$

Al campo scalare Φ si può associare anche un tensore energia-momento.

$T_{\mu\nu}^{\Phi}$ (deve essere un tensore e avere quadridivergenza nulla)

$$T_{\mu\nu}^{\Phi} := -\frac{g}{\sqrt{-g}} \frac{g_{\mu\nu}}{8g^{11}}$$

se signature $(-, +, +, +)$.

Si trova:

$$T_{\mu\nu}^{\Phi} = \frac{g}{\sqrt{-g}} \left[-\frac{\partial(\sqrt{-g}\varphi)}{\partial g^{\mu\nu}} + \partial_\mu \partial_\nu \frac{\sqrt{-g}\varphi}{\partial \partial_\mu g^{\mu\nu}} \right] \quad \begin{matrix} \text{se uso segnatura } (-, +, +, +) \\ \text{(risultato del tutto generale)} \end{matrix}$$

$$T_{\mu\nu}^{\Phi} = -2 \frac{\partial \varphi}{\partial g^{\mu\nu}} + g_{\mu\nu} \varphi = \partial_\mu \varphi \partial_\nu \varphi + g_{\mu\nu} \left[-\frac{1}{2} g^{\alpha\beta} \varphi_{,\alpha} \varphi_{,\beta} + V(\varphi) \right]$$

se uso segnatura $(-, +, +, +)$

tensores energia-momento per un campo scalare in Relatività Generale

$$\frac{\partial(\sqrt{-g})}{\partial g^{\mu\nu}} = -\frac{1}{2} \sqrt{-g} g^{\mu\nu}.$$

Di solito in cosmologia si può scrivere:

(10)

$$\varphi(\vec{x}, t) = \varphi_0(t) + \delta\varphi(\vec{x}, t),$$

dove $\varphi_0(t)$ è il valore classico del campo (\equiv il valore di aspettazione sullo stato iniziale omogeneo ed isotropo), mentre $\delta\varphi(\vec{x}, t)$ rappresenta le fluttuazioni quantistiche attorno a $\varphi_0(t)$ - ovvero la variazione di φ è la differenza fra il campo reale e il suo valore medio nel voto $\varphi_0(t) = \langle \varphi(\vec{x}, t) \rangle \Rightarrow \langle \delta\varphi(\vec{x}, t) \rangle = 0$

Questa separazione è utile perché le fluttuazioni quantistiche sono durante l'inflessione dell'evoluzione classica $\langle \delta\varphi^2 \rangle \ll \varphi_0^2(t)$ -

Quindi per il momento occupiamoci dell'evoluzione del campo classico $\varphi_0(t)$ (indichiamolo $\varphi(t)$ d'ora in avanti) -

Se il campo è omogeneo ed isotropo, cioè dipende solo dal tempo le uniche componenti $\neq 0$ del tensore energia-momento sono:

$$T_{\text{0}}^{\text{0}} = -\left(\frac{1}{2}\dot{\varphi}^2 + V(\varphi)\right) = -\rho\varphi \quad (\text{con signature}(-, +, +, +))$$

$$T_{ij}^i = \left(\frac{1}{2}\dot{\varphi}^2 - V(\varphi)\right)\delta_{ij}^i = \rho\varphi\delta_{ij}^i$$

N.B. i)
Un campo omogeneo ed isotropo si comporta come un fluido perfetto

iii) la cosa importante è che in $\dot{\phi} < 0$ - $V(\phi)$: è il potenziale che è
un possibile candidato a dare uno $\dot{\phi} < 0$

(11)

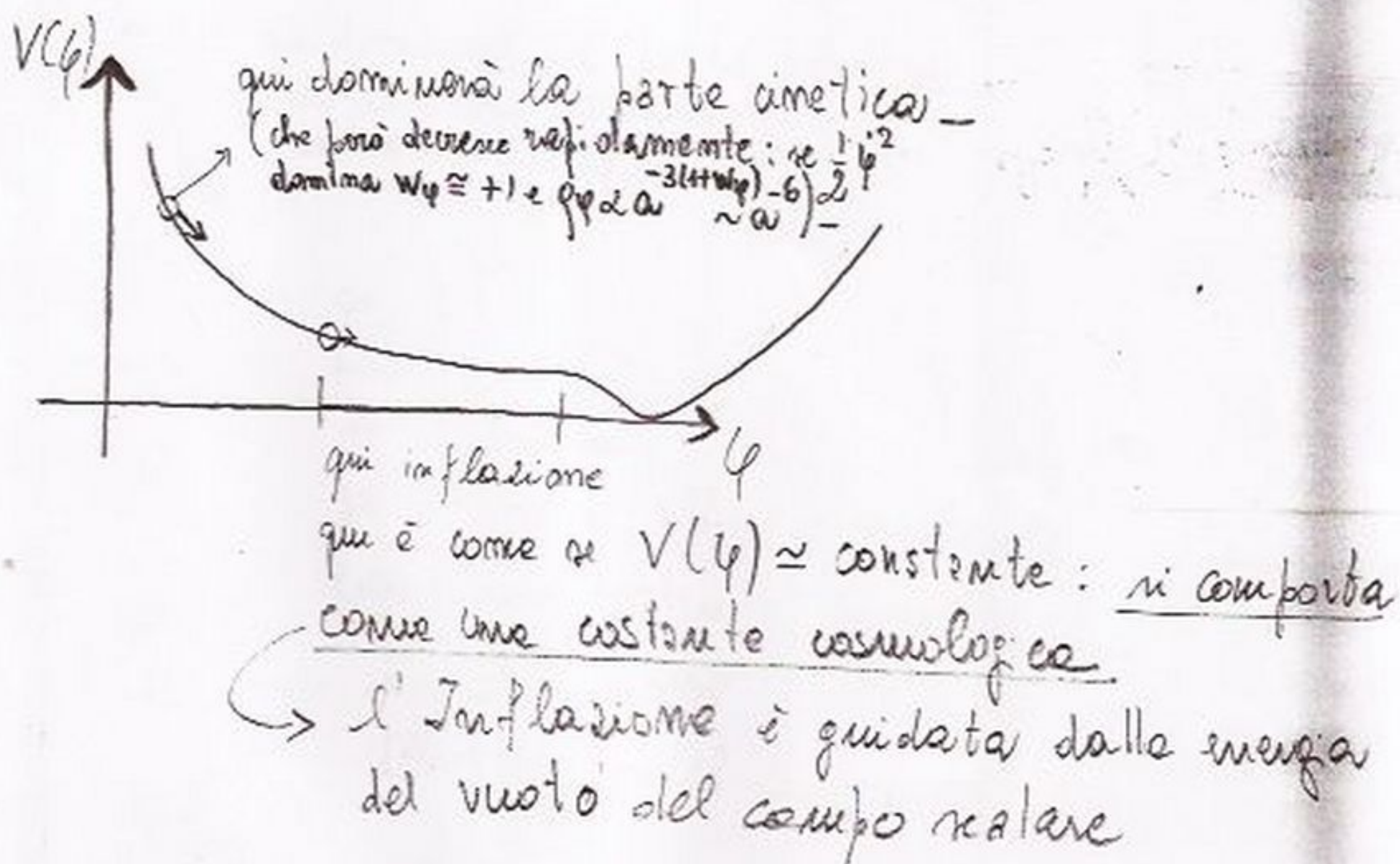
Poi andrà: se $V(\phi) \gg \frac{1}{2}\dot{\phi}^2$

Allora

$$\dot{\phi}_q \approx -\dot{\phi}_F \rightarrow \text{Universo chi de-Sitter}$$

Se l'universo è dominato da un campo scalare, e la energia
potenziale domina quella cinetica si può avere inflazione.

1.B.



1.B: se ad e^{Ht} è la matrice ordinaria (bannini o radiazione/potom)

$$\rho_r \propto \bar{a}^{-4}$$

$$\rho_b \propto \bar{a}^{-3}$$

Vanno a zero rapidamente: non appena comincia a dominare V , viene spazzato via tutto - tranne V stesso. (no-hair cosmic theorem)

una cosa analoga dicasì per la curvatura spaziale k

(e per la stessa ragione anche qualsiasi disomogeneità viene cancellata
non appena l'inflazione inizia, giustificando così l'uso della metrica di background di FRW)

Vediamo più in dettaglio la dinamica inflazionale:

(12)

L'altra equazione di Klein-Gordon per un campo omogeneo ed isotropo si ha (oppure dalla conservazione del tensore energia-momento)

$$\ddot{\varphi} + 3H\dot{\varphi} + V'(\varphi) = 0 \quad , \quad V(\varphi) = \frac{2V}{3}$$

Nota il termine di frizione dovuto all'espansione dell'universo.

Inoltre dalle equazioni di Friedmann:

$$H^2 = \frac{8\pi G}{3} \rho_0 = \frac{8\pi G}{3} \left(\frac{1}{2}\dot{\varphi}^2 + V(\varphi) \right)$$

Se richiediamo che $\dot{\varphi}^2 \ll V(\varphi)$ il campo scalare sta rotolando lentamente lungo il suo potenziale \Rightarrow periodo di SLOW-ROLL

(lento-rotolamento)

Questa condizione $\dot{\varphi}^2 < V(\varphi)$ è ottenuta se il potenziale è sufficientemente piatto \Rightarrow ci possiamo aspettare che V e le sue derivate rispetto a φ varino lentamente con $\varphi \Rightarrow$ siamo dunque assicurati che $\dot{\varphi}$

Allora $\begin{cases} H^2 \approx \frac{8\pi G}{3} V(\varphi) , & (1) \\ 3H\dot{\varphi} \approx -V'(\varphi) & (2) \end{cases}$

\rightarrow E' come condizione una eq.
 $\ddot{x} + 3H\dot{x} = -\frac{F}{m}$ (eq. con sfinito)

per $t \gg \frac{1}{H}$ $\dot{x} \approx -\frac{F}{m}$, cioè F determina
 e non pone le accelerazioni
 che devono sottodominante -

Condizioni di slow-roll (usando la (2))

1. $\dot{\varphi}^2 \ll V(\varphi) \Rightarrow \frac{(V')^2}{V} \ll H^2$ (o anche $\frac{1}{\pi G} \left(\frac{V'}{V} \right)^2 \ll 1$ usando la (1))

2. $\ddot{\varphi} \ll 3H\dot{\varphi} \Rightarrow V'' \ll H^2$ (o anche $\frac{1}{\pi G} \left(\frac{V''}{V} \right) \ll 1$)

I.N.F.N. Sezione di PADOVA

bartolo@lxpd05

Job 885

/tmp/img-pos629900

1^a condizione

$$3H\dot{\varphi} = -V'(\varphi)$$

$$9H^2\dot{\varphi}^2 = +\left(V'\right)^2$$

$$\dot{\varphi}^2 = \frac{+\left(V'\right)^2}{9H^2}$$

quindi:

$$\dot{\varphi}^2 \ll V(\varphi)$$

$$\Rightarrow \left(V'\right)^2 \ll H^2$$

V

2^a condizione

$$3H\dot{\varphi} = -V'(\varphi)$$

$$3H\ddot{\varphi} \approx -V''(\varphi)\dot{\varphi}$$

quindi:

$$\ddot{\varphi} \ll 3H\dot{\varphi} \Rightarrow$$

$$\frac{V''\dot{\varphi}}{3H} \ll 3H\dot{\varphi}$$

$$\text{ovvero } V'' \ll 9H^2$$

(13)

Pertanto è conveniente introdurre i cosiddetti parametri di slow-roll :

$$\epsilon = \frac{1}{16\pi G} \left(\frac{V'}{V} \right)^2 = - \frac{\dot{H}}{H^2}$$

$$\eta = \frac{1}{8\pi G} \left(\frac{V''}{V} \right) = \frac{1}{3} \frac{V''}{H^2}$$

Possiamo quindi anche dire che per avere un periodo di inflazione $\epsilon, |\eta| \ll 1$ (cioè il potenziale deve essere sufficientemente piatto affinché si sviluppi l'inflazione)

X Accanto a quantità di parametri di slow-roll.

$$\text{ex: } \xi^2 = \frac{1}{8\pi G} \left(\frac{V'V''}{V^2} \right)$$

X Accanto al fatto che $\epsilon, \eta \approx \text{cost.}$ durante l'inflazione xe' potenziale

Nota che abbiamo visto ϵ anche come $\epsilon = -\frac{\dot{H}}{H^2}$: ϵ quantifica di quanto il parametro di Hubble cambia nel tempo durante l'inflazione.

In particolare :

$$\frac{\ddot{a}}{a} = \dot{H} + H^2 = (1-\epsilon)H^2,$$

quindi l'inflazione si può ottenere solo se $\epsilon < 1$

Non appena questa condizione cessa
l'inflazione finisce

Two simple but very important examples

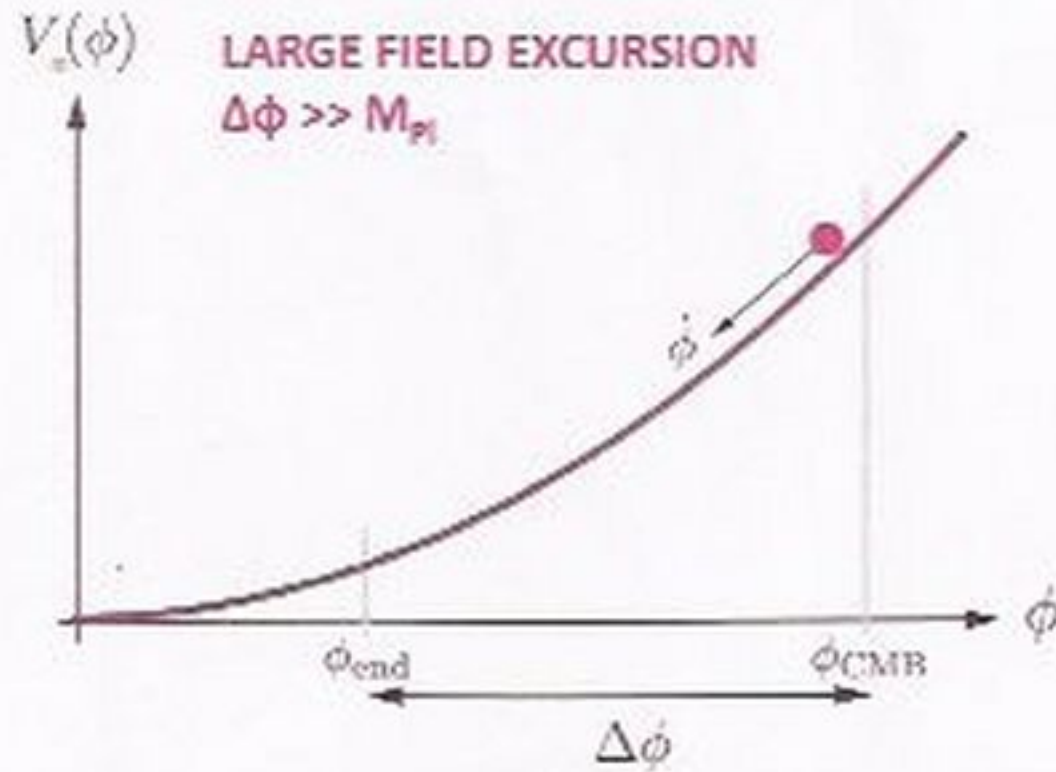
“Large field” like potential

$$V(\phi) \propto \phi^\alpha$$

$$\epsilon \sim \frac{1}{\pi G} \left(\frac{V_{,\phi}}{V} \right)^2 \sim \alpha^2 \frac{1}{\pi G} \frac{1}{\phi^2} \sim \alpha^2 \frac{M_{\text{Pl}}^2}{\phi^2}$$

$$\epsilon \ll 1 \Rightarrow \phi \gg M_{\text{Pl}}$$

$$M_{\text{Pl}} = (\hbar c/G)^{1/2} \equiv G^{-1/2} \simeq 10^{19} \text{GeV}$$



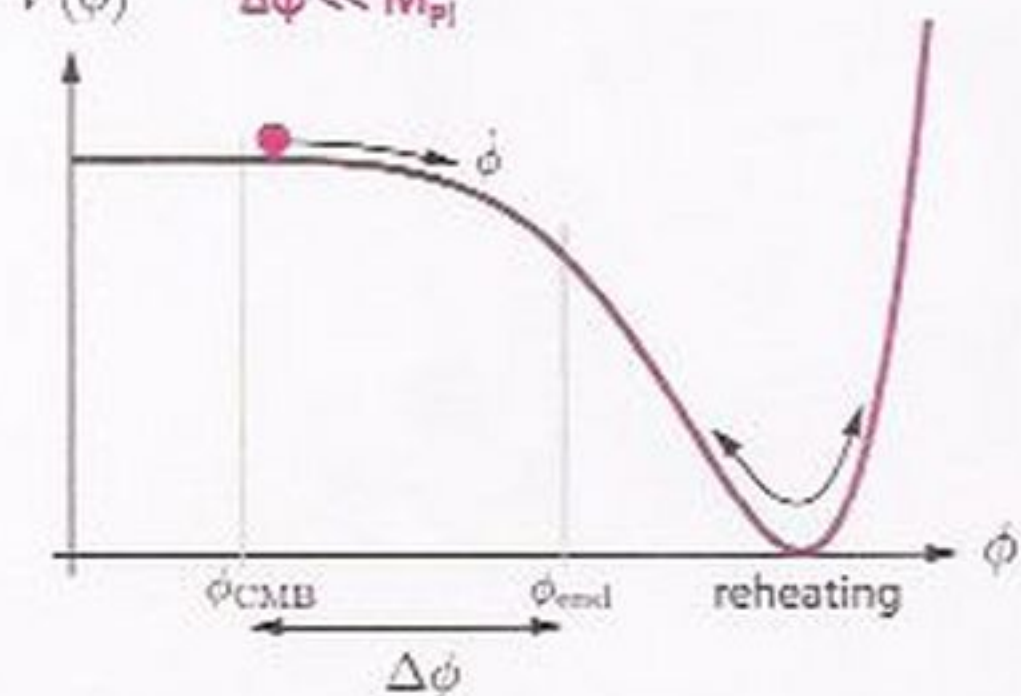
“Small field” like potential

$$V(\phi) = V_0 \left[1 - \left(\frac{\phi}{\mu} \right)^p \right] \quad \phi < \mu < M_{\text{Pl}}$$

$$\epsilon \sim p^2 \frac{\phi^{2p}}{\mu^{2p}} \frac{M_{\text{Pl}}^2}{\phi^2} \left[1 - \left(\frac{\phi}{\mu} \right)^p \right]^{-1}$$

$$\epsilon \rightarrow 0 \text{ for } \phi \rightarrow 0$$

SMALL FIELD EXCURSION
 $\Delta\phi \ll M_{\text{Pl}}$



Escursione del campo:

$$\Delta\phi = \int_{\phi_{\text{CMB}}}^{\phi_{\text{end}}} d\phi = \int_{t_{\text{CMB}}}^{t_{\text{end}}} \dot{\phi} dt \simeq \frac{\dot{\phi}}{H} \int_{Ht_{\text{CMB}}}^{Ht_{\text{end}}} d(Ht) = \frac{\dot{\phi}}{H} N_{\text{CMB}} \sim \epsilon^{1/2} N_{\text{CMB}} M_{\text{Pl}}$$

Quindi nel caso di $\epsilon \sim 1/N_{\text{CMB}}$ (come di solito succede nei modelli a grande campo) e non troppo piccoli, la escursione del campo è $\Delta\phi > M_{\text{Pl}}$ → modelli a campo grande. (qui N_{CMB} definisce la "finestra osservabile" durante l'inflazione, quella che noi possiamo sondare osservativamente, ovvero N_{CMB} corrisponde ai 60-70 e-folds (contati a partire dalla fine dell' inflazione) in corrispondenza dei quali la scala osservabile più grande, ovvero l'orizzonte cosmologico oggi, esce dall'orizzonte durante l'inflazione; -- ripensate sempre al grafico dell'orizzonte cosmologico in fusione del tempo--. Le scali cosmologiche più grandi possono essere sondate attraverso la CMB, da cui il pedice "CMB").

Invece nel caso in cui $\epsilon \ll 1$ allora si avrà $\Delta\phi < M_{\text{Pl}}$ → modelli a campo piccolo.